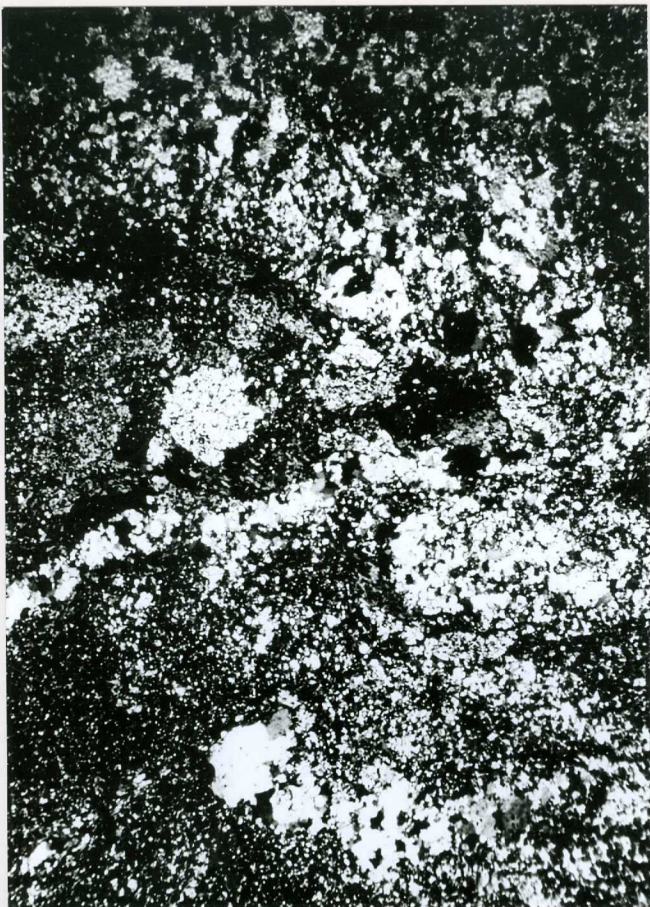




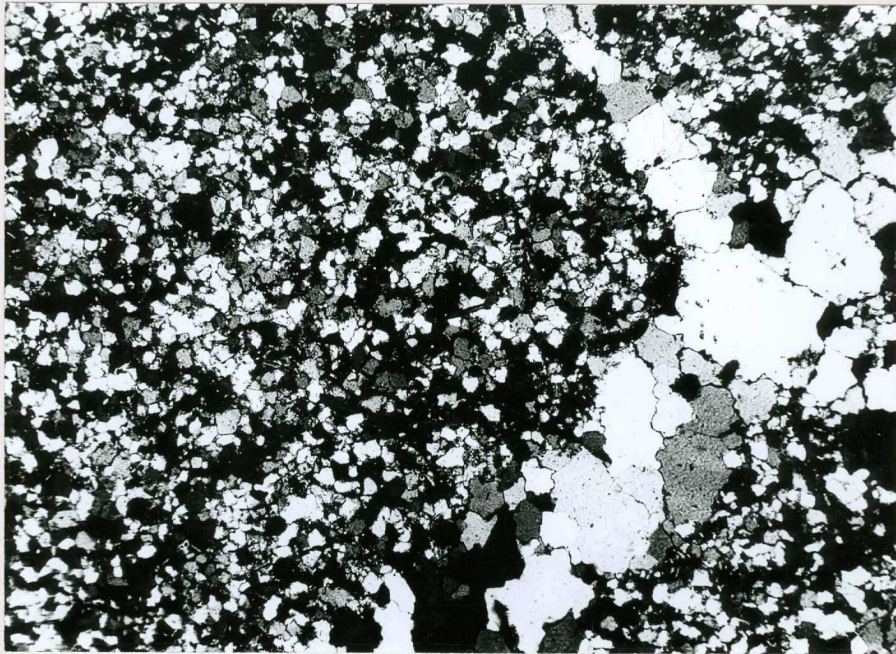
10-09-AD-GU-10. Fotografía de la Cruciana en la carretera de Villafranca a Paradaseca. (Ca_2O_1)



10-09-AD-GU-11. - Estratificación cruzada tabular de bajo ángulo.
(CA_2-O_1)



10-09-AD-GU-111.- Cuarcita. Se observa recristalización debida a metamorfismo de contacto. NX.



10-09-AD-GU-112.- Cuarcita, con algunos cristales de clorita y - biotita. Textura totalmente recristalizada. NX.



10-09-AD-GU-118.- Pizarra mosqueada; se encuentran porfidoblastos de andalucita y cordierita sudomorfoseados por sericita y clorita. Luz natural.



10-09-AD-GU-13.- Relación entre So y S₁. (Ca₂-O₁)



10-09-AD-GU-15. - Pliegue fase 1 en la carretera de Villafranca a Paradaseca. (CA_2-O_1)



10-09-AD-GU-2. - Kink bands conjugados. (CA₂-O₁)



10-09-AD-GU-329.- Boudins de calcita. (CA_i)



10-09-AD-GU-330.- Pliegues y boudins en venas de calcita. (CAG)

10-09-AD-GU-331.- Aspecto de la esquistosidad 1 en las calizas
de Candana. (CA?)





10-09-AD-GU-332.- Aspecto de la esquistosidad 1 en las calizas de Candana. (CA)



10-09-AD-GU-333.- Pliegues en capas calcáreo-dolomíticas y boudins en venas de calcita. (CA^c)



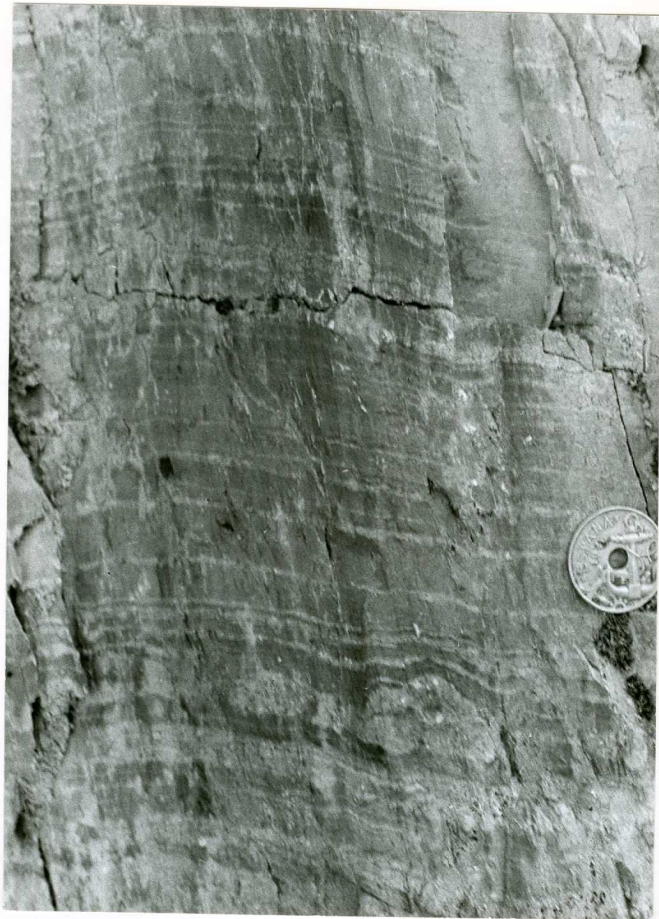
10-09-AD-GU-334.- Pliegue y dispersión de la esquistosidad. (CAG)



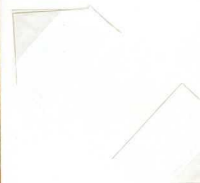
10-09-AD-GU-335.- Aspecto del Precámbrico. (PC)



10-09-AD-GU-336.- Pliegues 1 en la parte basal de la Formación -
Candana. (CA₁)



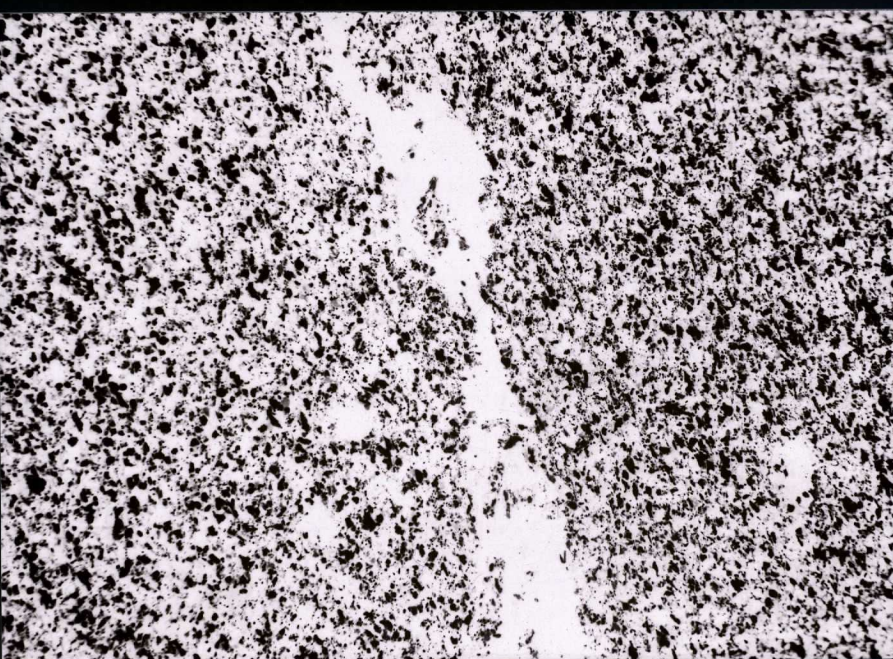
10-09-AD-GU-337. - Aspecto de la Formación Candana en su parte - superior. (CA₁)



10-09-AD-GU-338. - Sinclinal de Peñalba y alternancia de calizas y pizarras negras devónicas. Se trata de un sinclinal de 1^a fase modificado por la 3^a fase.



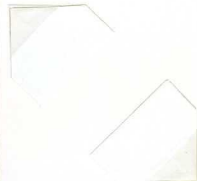
10-09-AD-GU-339.- Aspecto de las calizas devónicas. (D₁-D₁₂₋₁₃)



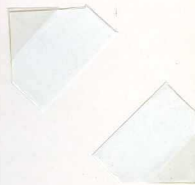
10-09-AD-GU-34.- Filita, destacan pequeños cristales de cuarzo,
moscovita y clorita. NX. (0₂₋₃)



10-09-AD-GU-340.- Estratificación cruzada en un banco cuarcítico dentro de la serie de los Cabos. (CA₂-O₁)



10-09-AD-GU-341.- Bancos calcáreos incluidos dentro de limos arenosos, en el techo de la Formación 2. (T_{Cl}^B)



10-09-AD-GU-342.- Laminación cruzada en sedimentos arenosos. (T_{Cl}^B)



10-09-AD-GU-343.- Aspecto del 3^{er} tramo, alternancia rítmica de conglomerados y limos arenosos. (T_{Cl}^B)



10-09-AD-GU-344.- Argillolitas y sedimentos arenosos de la Formación 1. ($T_{C_1}^B$)



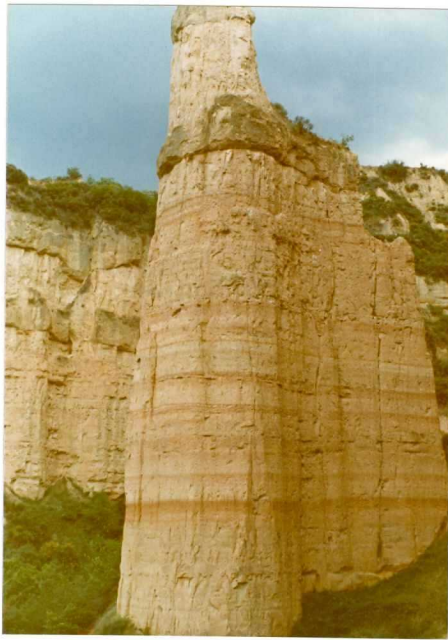
10-09-AD-GU-345.- Pliegue de 1^a fase con la charnela fracturada.
($CA_2 O_1$)



10-09-AD-GU-346. - Pencils dentro de la Serie de los Cabos. (cA₂-O₁)



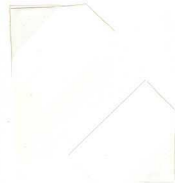
10-09-AD-GU-347.- Canalizaciones de terrígenos (Paleocanales)
en el tramo 2. (T^B_{CI})



10-09-AD-GU-348.- Sedimentos mixtos carbonatos-terrígenos. (T_{ci}^B)



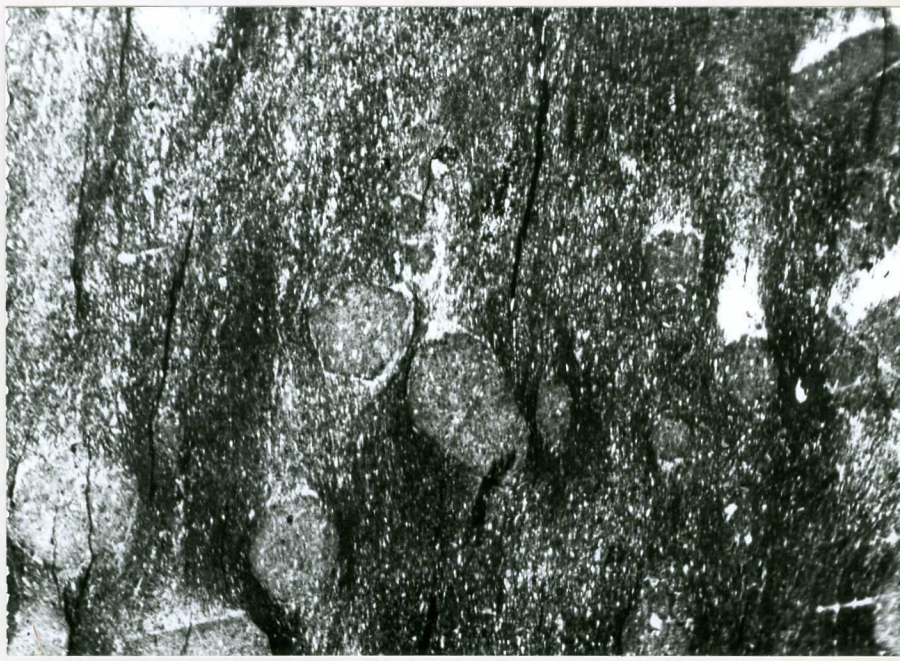
10-09-AD-GU-349.- Pliegue de 1^a fase en la Serie de los Cabos.
(Ca_2O_1)



10-09-AD-GU-4.- Laminación ondulada de bajo ángulo. (CA_2-O_1)



10-09-AD-GU-5..- Kink bands en las cuarcitas de la Serie de los Cabos. (CA_2-O_1)



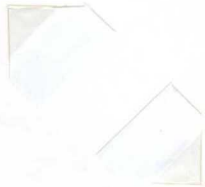
10-09-AD-VE-502.- Pizarra mosqueada; las formas hexagonales deben corresponder a antiguos cristales de un silicato alumínico, que - actualmente y dada la alteración que presenta, no es posible reco
nocer. Luz natural.



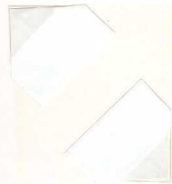
10-09-AD-GU-58. - Metadiabasa de la Serie de los Cabos.

Predominan los cristales de albita y clorita ligeramente orientados.

NX. ($\frac{5}{2}$)



10-09-AD-GU-59..- Estratificación cruzada en las cuarcitas de la Serie de los Cabos. (CA₂-O₁)



10-09-AD-GU-6.- Estratificación cruzada tabular. (CA_2-O_1)

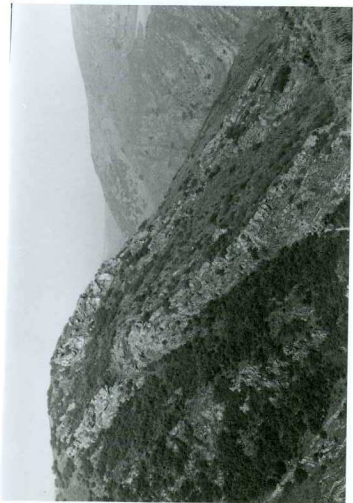


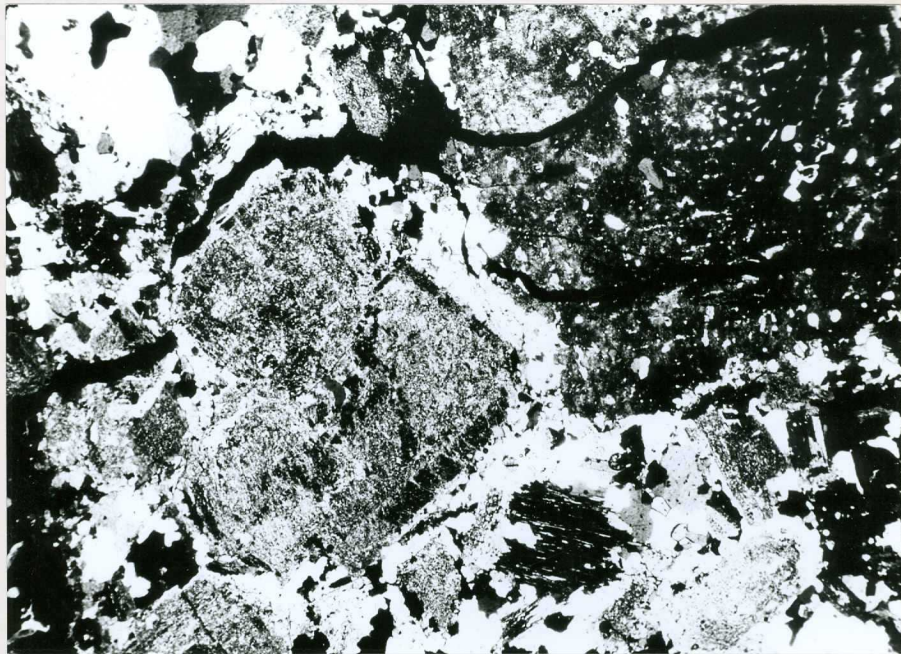
10-09-AD-GU-60..- Pliegue de fase 1 en las cuarcitas de la Serie de los Cabos. (CA₂-O₁)



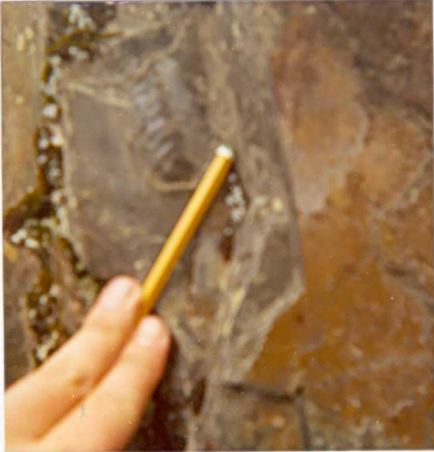
10-09-AD-GU-61.- Sinclinal en la Serie de los Cabos de fase 1.
(CA_2-O_1)

10-09-AD-GU-62.- Pliague de arrastre de fase 1. (CA_2 - Q_1)

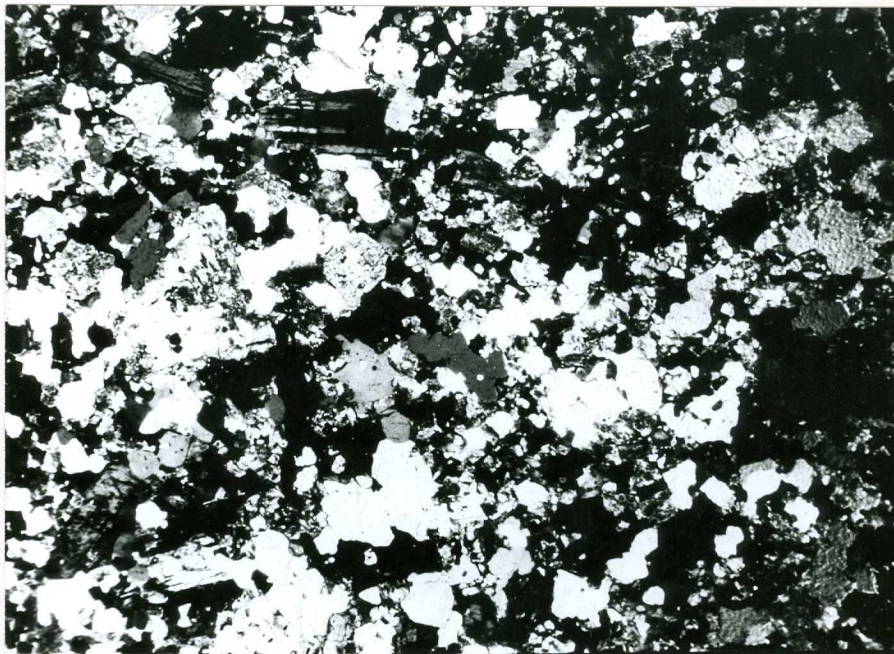




10-09-AD-GU-63. - Granito biotítico con un elevado grado de alteración. NX. (γ^3)



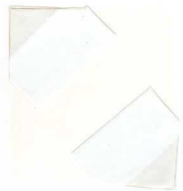
10-09-AD-GU-7.- Cruciana. (CA_2O_1)



10-09-AD-GU-71.- Granito moscovítico formado por cuarzo, albita, oligoclasa y microclino. NX. (γ^3)



10-09-AD-GU-74. - Leucogranito moscovítico granatífero. NX. (γ³)



10-09-AD-GU-8.- Refracción de la esquistosidad. ($CA_2 O_1$)